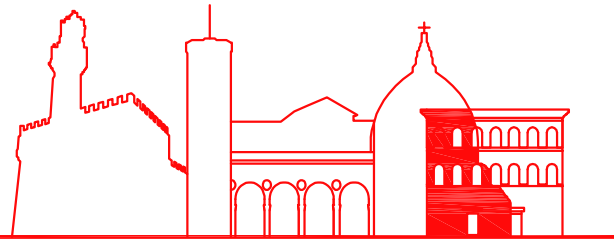


COMUNE DI
FIRENZE

DIREZIONE AMBIENTE



INVERDIMENTO DI PARETI DI EDIFICI PUBBLICI

Intervento di sviluppo degli spazi verdi urbani ai sensi della L. 10/2013

C.O. 210138-220377 _ CUP H11B21003530007

Responsabile Unico del Progetto

Arch. Irene Romagnoli

Progetto Architettonico (Comune di Firenze - Direzione Ambiente)

Arch. Mariacarla Lo Guasto

Arch. Gabriele Frisone

Ing. Francesco Nocchi

Progetto Strutturale

Studio ABS Ingegneria

Dott. Ing. Simone Staccioli

Inquadramento

quartiere: **Q2**

edificio pubblico: **Nido d'infanzia - ERBASTELLA**

indirizzo: **via della Loggetta 44**

OGGETTO TAVOLA

esecutivi strutturali RELAZIONE GEOTECNICA

3S ER

agosto 2025



1 - DESCRIZIONE GENERALE DELL'OPERA

Questa relazione è stata redatta sulla base della documentazione geologica fornita dai progettisti della Direzione Ambiente del Comune di Firenze che si ritiene esaustiva al fine della progettazione strutturale.

2 - NORMATIVA DI RIFERIMENTO

Le fasi di analisi e verifica della struttura sono state condotte in accordo alle seguenti disposizioni normative, per quanto applicabili in relazione al criterio di calcolo adottato dal progettista, evidenziato nel prosieguo della presente relazione:

Legge 5 novembre 1971 n. 1086 (G. U. 21 dicembre 1971 n. 321)

“Norme per la disciplina delle opere di conglomerato cementizio armato, normale e precompresso ed a struttura metallica”.

Legge 2 febbraio 1974 n. 64 (G. U. 21 marzo 1974 n. 76)

“Provvedimenti per le costruzioni con particolari prescrizioni per le zone sismiche”

Indicazioni progettuali per le nuove costruzioni in zone sismiche a cura del Ministero per la Ricerca scientifica - Roma 1981.

D. M. Infrastrutture Trasporti 17/01/2018 (G.U. 20/02/2018 n. 42 - Suppl. Ord. n. 8)

“Aggiornamento delle Norme tecniche per le Costruzioni”.

Inoltre, in mancanza di specifiche indicazioni, ad integrazione della norma precedente e per quanto con esse non in contrasto, sono state utilizzate le indicazioni contenute nella:

Circolare 21 gennaio 2019, n. 7 C.S.LL.PP. (G.U. Serie Generale n. 35 del 11/02/2019 - Suppl. Ord. n. 5) Istruzioni per l'applicazione dell'«Aggiornamento delle "Norme tecniche per le costruzioni"» di cui al decreto ministeriale 17 gennaio 2018.

Eurocodice 7 - "Progettazione geotecnica" - EN 1997-1 per quanto non in contrasto con le disposizioni del D.M. 2018 “Norme Tecniche per le Costruzioni”.

Il calcolo è stato eseguito nel rispetto delle disposizioni riportate nella normativa D.M. 17/01/2018.

3 - INDAGINI E CARATTERIZZAZIONE GEOTECNICA

3.1 Prove effettuate e Caratterizzazione geotecnica

Sulla base della documentazione geologica fornita dai progettisti della Direzione Ambiente del Comune di Firenze è stato possibile ricostruire le seguenti stratigrafie per ognuna delle quali sono state definite le proprietà geotecniche dei singoli terreni coinvolti.

TERRENI

N _{TRN}	γ _r	γ _{rs}	K1			ϕ	c _u	c'	E _d	E _{cu}	A _{S-B}	ST_P	Terreni	
			K _{1x}	K _{1y}	K _{1z}								[°]	[N/mm ²]
strato R														
T001	18 000	18 000	1	1	3	21	0,016	0,000	1	6	1,125	NO		
strato A														
T002	18 000	18 000	2	2	6	23	0,026	0,000	27	1	0,000	NO		
strato B														
T003	18 000	18 000	2	2	6	27	0,064	0,040	67	24	1,125	NO		

LEGENDA:

N_{TRN} Numero identificativo del terreno.

γ_r Peso specifico del terreno.

γ_{rs} Peso specifico saturo del terreno.

N _{TRN}	γ _T [N/m ³]	γ _{Ts} [N/m ³]	K1			ϕ [°]	c _u [N/mm ²]	c' [N/mm ²]	E _d [N/mm ²]	E _{cu} [N/mm ²]	A _{S-B}	Terreni ST_P
			K _{1X} [N/cm ³]	K _{1Y} [N/cm ³]	K _{1Z} [N/cm ³]							
K1	Valori della costante di Winkler riferita alla piastra Standard di lato b = 30 cm nelle direzioni degli assi del riferimento globale X (K _{1X}), Y (K _{1Y}), e Z (K _{1Z}).											
ϕ	Angolo di attrito del terreno.											
c _u	Coesione non drenata.											
c'	Coesione efficace.											
E _d	Modulo edometrico.											
E _{cu}	Modulo elastico in condizione non drenata.											
A _{S-B}	Parametro "A" di Skempton-Bjerrum per pressioni interstiziali.											
ST_P	[SI]: Il terreno è usato nella valutazione delle spinte a tergo delle pareti/muri controterra; [NO]: Il terreno NON è usato nella valutazione delle spinte a tergo delle pareti/muri controterra.											

STRATIGRAFIE

N _{TRN}	Q _i [m]	Q _f [m]	Cmp. S.	Stratigrafie	
				Add	ΔEd
[S001]-terreno da relazione geologica					
T001	0,30		-0,50	incoerente	sciolto
T002	-0,50		-2,30	coerente	denso
T003	-2,30	INF		coerente	denso
nulla	nulla	nulla			

LEGENDA:

N_{TRN} Numero identificativo della stratigrafia.

Q_i Quota iniziale dello strato (riferito alla quota iniziale della stratigrafia).

Q_f Quota finale dello strato (riferito alla quota iniziale della stratigrafia). INF = infinito (profondità dello strato finale).

Cmp. Comportamento dello strato.

S.

Add Addensamento dello strato.

ΔEd Variazione con la profondità del modulo edometrico.

NB: Nel caso di fondazioni dirette con stratigrafia, il calcolo del carico limite (q_{lim}) viene fatto su un terreno "equivalente" con parametri geotecnici calcolati come media pesata degli strati compresi tra la quota del piano di posa e la quota della profondità "significativa" (stabilità come "Multiplo della dimensione significativa della fondazione").

$$\text{Parametro "J"} = \frac{\sum_i^n [\text{Parametro "J"} (\text{strato, i}) \cdot \text{Spessore} (\text{strato, i})]}{\text{Profondità significativa}}$$

con $i = 1, \dots, n$ (numero di strati compresi tra la quota del piano di posa e la quota della profondità significativa).

La **profondità o altezza significativa** del *volume di calcolo* del terreno, usata nelle varie verifiche geotecniche svolte dal programma, come già precedentemente accennato, è funzione del parametro *Multiplo della dimensione significativa della fondazione (m_{df})*.

Per le fondazioni di tipo *travi continue* la profondità significativa h_{vs} del volume di calcolo è pari a:

$$h_{vs} = b \cdot m_{df},$$

dove b è la larghezza della fondazione.

Per le fondazioni di tipo a *platea o a plinti* la profondità significativa h_{vs} del volume di calcolo è pari a:

$$h_{vs} = d_m \cdot m_{df},$$

dove d_m è la media delle dimensioni della base di impronta della platea o del plinto.

Nella seguente tabella sono riportati i valori attribuibili al parametro m_{df} ed il valore predefinito proposto dal programma.

Tipo di fondazione	Range di valori possibili di m _{df}	Valore predefinito di m _{df}
Travi continue	[1; 3]	3
Platee e plinti	[1; 3]	2

3.2 Idrogeologia

Non è stata riscontrata la presenza di falde acquifere a profondità di interesse relativamente al "volume significativo" investigato.

3.3 Problematiche riscontrate

Durante l'esecuzione delle prove e dall'elaborazione dei dati non sono emerse problematiche rilevanti alla realizzazione delle opere di fondazione.

4 - MODELLAZIONE GEOTECNICA

Tutti i parametri che caratterizzano i terreni di fondazione sono riportati nei successivi paragrafi.

4.1 Modellazione geotecnica

Ai fini del calcolo strutturale, il terreno sottostante l'opera viene modellato secondo lo schema di Winkler, cioè un sistema costituito da un letto di molle elastiche mutuamente indipendenti. Ciò consente di ricavare le rigidezze offerte dai manufatti di fondazione, siano queste profonde o superficiali, che sono state introdotte direttamente nel modello strutturale per tener conto dell'interazione opera/terreno.

5 - SCELTA TIPOLOGICA DELLE OPERE DI FONDAZIONE

La tipologia delle opere di fondazione è consona alle caratteristiche meccaniche del terreno definite sulla base della documentazione geologica fornita dai progettisti della Direzione Ambiente del Comune di Firenze.

Nel caso in esame, la struttura di fondazione è costituita da:

- fondazioni dirette.

6 - VERIFICHE DI SICUREZZA

Nelle verifiche allo stato limite ultimo deve essere rispettata la condizione:

$$E_d \leq R_d$$

dove:

E_d è il valore di progetto dell'azione o dell'effetto dell'azione;

R_d è il valore di progetto della resistenza del sistema geotecnico.

Le verifiche strutturali e geotecniche delle fondazioni, sono state effettuate con l'**Approccio 2** come definito al §2.6.1 del D.M. 2018, attraverso la combinazione **A1+M1+R3**. Le azioni sono state amplificate tramite i coefficienti della colonna A1 (STR) definiti nella tabella 6.2.I del D.M. 2018.

Tabella 6.2.I - Coefficienti parziali per le azioni o per l'effetto delle azioni [cfr. D.M. 2018]

CARICHI	EFFETTO	Coefficiente parziale γ_F (o γ_E)	A1 (STR)	A2 (GEO)
Carichi permanenti G_1	Favorevole	γ_{G1}	1,00	1,00
	Sfavorevole		1,30	1,00
Carichi permanenti $G_2^{(1)}$	Favorevole	γ_{G2}	0,80	0,80
	Sfavorevole		1,50	1,30
Azioni variabili Q	Favorevole	γ_Q	0,00	0,00
	Sfavorevole		1,50	1,30

⁽¹⁾ Per i carichi permanenti G_2 si applica quanto indicato alla Tabella 2.6.I. Per la spinta delle terre si fa riferimento ai coefficienti γ_{G1}

I valori di resistenza del terreno sono stati ridotti tramite i coefficienti della colonna M1 definiti nella tabella 6.2.II del D.M. 2018.

Tabella 6.2.II - Coefficienti parziali per i parametri geotecnici del terreno [cfr. D.M. 2018]

PARAMETRO GEOTECNICO	Grandezza alla quale applicare il coefficiente parziale	Coefficiente parziale γ_M	M1	M2
Tangente dell'angolo di resistenza a taglio	$\tan\phi_k$	γ_ϕ'	1,00	1,25
Coesione efficace	C'_k	γ_c'	1,00	1,25
Resistenza non drenata	C_{uk}	γ_{cu}	1,00	1,40
Peso dell'unità di volume	γ	γ_γ	1,00	1,00

I valori calcolati delle resistenze totali dell'elemento strutturale sono stati divisi per i coefficienti R3 della tabella 6.4.I del D.M. 2018 per le fondazioni superficiali.

Tabella 6.4.I - Coefficienti parziali γ_R per le verifiche agli stati limite ultimi di fondazioni superficiali.

Verifica	Coefficiente Parziale (R3)
Carico limite	$\gamma_R = 2,3$
Scorrimento	$\gamma_R = 1,1$

Per le varie tipologie di fondazioni sono di seguito elencate le metodologie ed i modelli usati per il calcolo del carico limite ed i risultati di tale calcolo.

6.1 Carico limite fondazioni dirette

La formula del carico limite esprime l'equilibrio fra il carico applicato alla fondazione e la resistenza limite del terreno. Il carico limite è dato dalla seguente espressione:

$$q_{lim} = c \cdot N_c \cdot s_c \cdot d_c \cdot i_c \cdot g_c \cdot b_c \cdot \Psi_c + q \cdot N_q \cdot s_q \cdot d_q \cdot i_q \cdot g_q \cdot b_q \cdot \Psi_q + \frac{B'}{2} \cdot \gamma_f \cdot N_\gamma \cdot s_\gamma \cdot d_\gamma \cdot i_\gamma \cdot g_\gamma \cdot b_\gamma \cdot \Psi_\gamma \cdot r_\gamma$$

in cui:

c = coesione del terreno al disotto del piano di posa della fondazione;

$q = \gamma \cdot D$ = pressione geostatica in corrispondenza del piano di posa della fondazione;

γ = peso unità di volume del terreno al di sopra del piano di posa della fondazione;

D = profondità del piano di posa della fondazione;

B' = larghezza ridotta della suola di fondazione (vedi **NB**);

L = lunghezza della fondazione;

γ_f = peso unità di volume del terreno al disotto del piano di posa della fondazione;

N_c, N_q, N_γ = fattori di capacità portante;

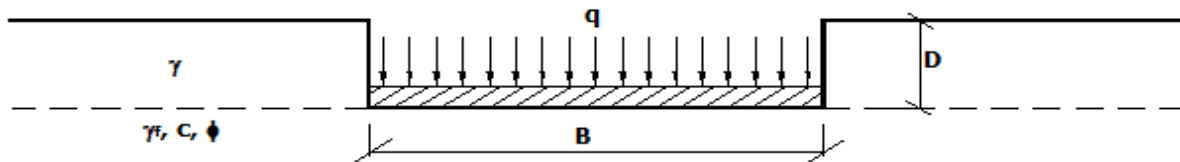
s, d, i, g, b, ψ, r = coefficienti correttivi.

NB: Se la risultante dei carichi verticali è eccentrica, B e L saranno ridotte rispettivamente di:

$$B' = B - 2 \cdot e_B \quad e_B = \text{eccentricità parallela al lato di dimensione } B;$$

$$L' = L - 2 \cdot e_L \quad e_L = \text{eccentricità parallela al lato di dimensione } L; \\ \text{con } B' \leq L'.$$

dove:



Calcolo dei fattori N_c, N_q, N_γ

Terreni puramente coesivi ($c \neq 0, \phi = 0$)	Terreni dotati di attrito e coesione ($c \neq 0, \phi \neq 0$)
$N_c = 2 + \pi$	$N_c = (N_q - 1) \cdot \cot\phi$
$N_q = 1$	$N_q = K_p e^{\pi \tan\phi}$
$N_\gamma = 0$ $N_\gamma = -2 \cdot \sin\omega$	$N_\gamma = 2 \cdot (N_q + 1) \cdot \tan\phi$
se $\omega = 0$ se $\omega \neq 0$	

dove:

$K_p = \tan^2 \left(45 + \frac{\phi}{2} \right)$ è il coefficiente di spinta passiva di Rankine;

ϕ = angolo di attrito del terreno al disotto del piano di posa della fondazione;

ω = angolo di inclinazione del piano campagna.

Calcolo dei fattori di forma s_c, s_q, s_γ

Terreni puramente coesivi ($c \neq 0, \phi = 0$)	Terreni dotati di attrito e coesione ($c \neq 0, \phi \neq 0$)
$s_c = 1 + \frac{B'}{(2 + \pi) \cdot L'}$	$s_c = 1 + \frac{N_q \cdot B'}{N_c \cdot L'}$
$s_q = 1$	$s_q = 1 + \frac{B'}{L'} \cdot \tan \phi$
$s_\gamma = 1 - 0.40 \cdot \frac{B'}{L'}$	$s_\gamma = 1 - 0.40 \cdot \frac{B'}{L'}$

con $B'/L' < 1$.

Calcolo dei fattori di profondità del piano di posa d_c, d_q, d_γ

Si definisce il seguente parametro:

$$K = \frac{D}{B'} \quad \text{se} \quad \frac{D}{B'} \leq 1 ;$$

$$K = \arctg \left(\frac{D}{B'} \right) \quad \text{se} \quad \frac{D}{B'} > 1 .$$

Terreni puramente coesivi ($c \neq 0, \phi = 0$)	Terreni dotati di attrito e coesione ($c \neq 0, \phi \neq 0$)
$d_c = 1 + 0.4K$	$d_c = d_q - \frac{1 - d_q}{N_c \cdot \tan \phi}$
$d_q = 1$	$d_q = 1 + 2 \cdot \tan \phi \cdot (1 - \sin \phi)^2 \cdot K$
$d_\gamma = 1$	$d_\gamma = 1$

Calcolo dei fattori di inclinazione del carico i_c, i_q, i_γ

Si definisce il seguente parametro:

$$m = m_B = \frac{2 + B/L}{1 + B/L} \quad \text{se la forza H è parallela alla direzione trasversale della fondazione}$$

$$m = m_L = \frac{2 + L/B}{1 + L/B} \quad \text{se la forza H è parallela alla direzione longitudinale della fondazione}$$

$$m = m_\theta = m_L \cdot \cos^2 \theta + m_B \cdot \sin^2 \theta \quad \text{se la forza H forma un angolo } \theta \text{ con la direzione longitudinale della fondazione}$$

Terreni coesivi ($c \neq 0, \phi = 0$)	Terreni incoerenti ($c = 0, \phi \neq 0$)	Terreni dotati di attrito e coesione ($c \neq 0, \phi \neq 0$)
$i_c = 1 - \frac{m \cdot H}{c \cdot N_c \cdot B \cdot L}$	$i_c = 0$	$i_c = i_q - \frac{1 - i_q}{N_c \cdot \tan \phi}$
$i_q = 1$	$i_q = \left(1 - \frac{H}{V}\right)^m$	$i_q = \left(1 - \frac{H}{V + B \cdot L \cdot c \cdot \cot \phi}\right)^m$
$i_\gamma = 0$	$i_\gamma = \left(1 - \frac{H}{V}\right)^{m+1}$	$i_\gamma = \left(1 - \frac{H}{V + B \cdot L \cdot c \cdot \cot \phi}\right)^{m+1}$

dove:

H = componente orizzontale dei carichi agente sul piano di posa della fondazione;

V = componente verticale dei carichi agente sul piano di posa della fondazione.

Calcolo dei fattori di inclinazione del piano di campagna b_c, b_q, b_γ

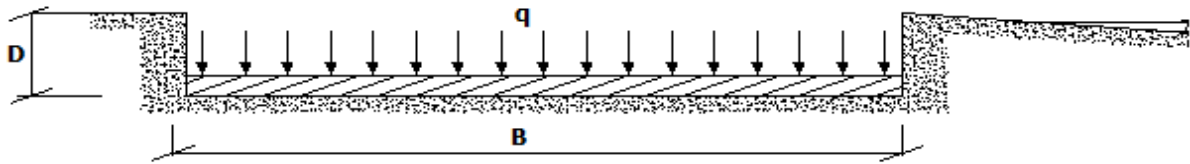
Indicando con ω la pendenza del piano campagna, si ha:

Terreni puramente coesivi ($c \neq 0, \phi = 0$)	Terreni dotati di attrito e coesione ($c \neq 0, \phi \neq 0$)
$b_c = 1 - \frac{2 \cdot \omega}{(2 + \pi)}$	$b_c = b_q - \frac{1 - b_q}{N_c \cdot \tan \phi}$
$b_q = (1 - \tan \omega)^2 \cdot \cos \omega$	$b_q = (1 - \tan \omega)^2 \cdot \cos \omega$
$b_\gamma = b_q / \cos \omega$	$b_\gamma = b_q / \cos \omega$

...

Per poter applicare tali coefficienti correttivi deve essere verificata la seguente condizione:

$$\omega < \phi; \quad \omega < 45^\circ.$$



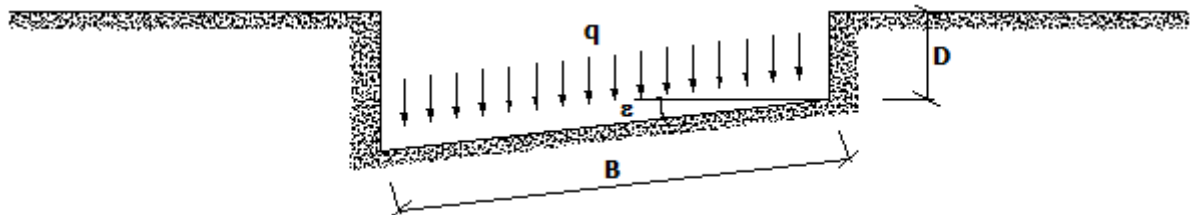
Calcolo dei fattori di inclinazione del piano di posa g_c, g_q, g_γ

Indicando con ε la pendenza del piano di posa della fondazione, si ha:

Terreni puramente coesivi ($c \neq 0, \phi = 0$)	Terreni dotati di attrito e coesione ($c \neq 0, \phi \neq 0$)
$g_c = 1 - \frac{2 \cdot \varepsilon}{(2 + \pi)}$	$g_c = g_q - \frac{1 - g_q}{N_c \cdot \tan \phi}$
$g_q = 1$	$g_q = (1 - \varepsilon \cdot \tan \phi)^2$
$g_\gamma = 1$	$g_\gamma = g_q$

Per poter applicare tali coefficienti correttivi deve essere verificata la seguente condizione:

$$\varepsilon < 45^\circ$$



Calcolo dei fattori di riduzione per rottura a punzonamento $\psi_c, \psi_q, \psi_\gamma$

Si definisce l'*indice di rigidezza* del terreno come:

$$I_r = \frac{G}{c + \sigma \cdot \tan \phi}$$

dove:

$$G = \frac{E}{2 \cdot (1 + \nu)} = \text{modulo d'elasticità tangenziale del terreno};$$

E = modulo elastico del terreno (nei calcoli è utilizzato il modulo edometrico);

ν = modulo di Poisson. Sia in condizioni non drenate che drenate è assunto pari a 0,5 (a vantaggio di sicurezza);

σ = tensione litostatica alla profondità $D + B/2$.

La rottura a punzonamento si verifica quando i coefficienti di punzonamento $\psi_c, \psi_q, \psi_\gamma$ sono inferiori all'unità; ciò accade quando l'indice di rigidezza I_r si mantiene inferiore al valore critico:

$$I_r < I_{r,\text{crit}} = \frac{1}{2} \cdot e^{\left[\left(3.3 - 0.45 \frac{B}{L} \right) \cot \left(45 - \frac{\phi}{2} \right) \right]}.$$

Terreni puramente coesivi ($c \neq 0, \phi = 0$)	Terreni dotati di attrito e coesione ($c \neq 0, \phi \neq 0$)
$\psi_c = 0.32 + 0.12 \cdot \frac{B'}{L'} + 0.6 \cdot \log(I_r)$	$\psi_c = \psi_q - \frac{1 - \psi_q}{N_c \cdot \tan \phi}$
$\psi_q = 1$	$\psi_q = e^{\left\{ \left(0.6 \frac{B'}{L'} - 4.4 \right) \tan \phi + \frac{3.07 \cdot \sin \phi \cdot \log(2 \cdot I_r)}{1 + \sin \phi} \right\}}$
$\psi_\gamma = 1$	$\psi_\gamma = \psi_q$

Correzione per fondazione tipo piastra

Bowles, al fine di limitare il contributo del termine " $B \cdot N_\gamma$ ", che per valori elevati di B porterebbe ad ottenere valori del carico limite prossimi a quelli di una fondazione profonda, propone il seguente fattore di riduzione r_γ :

$$r_\gamma = 1 - 0.25 \cdot \log(B/2) \quad \text{con } B \geq 2 \text{ m}$$

Nella tabella sottostante sono riportati una serie di valori del coefficiente r_γ al variare della larghezza dell'elemento di fondazione.

B [m]	2	2.5	3	3.5	4	5	10	20	100
r_γ	1,00	0,97	0,95	0,93	0,92	0,90	0,82	0,75	0,57

Questo coefficiente assume particolare importanza per fondazioni larghe con rapporto D/B basso, caso nel quale il termine "B·N $_\gamma$ " è predominante.

Calcolo del carico limite in condizioni non drenate

L'espressione generale del carico limite, valutato in termini di *tensioni totale*, diventa:

$$q_{lim} = c_u \cdot (2 + \pi) \cdot s_c \cdot d_c \cdot i_c \cdot g_c \cdot b_c + q + \frac{B'}{2} \cdot \gamma_{sat} \cdot B' N_\gamma \cdot s_\gamma \cdot r_\gamma$$

dove:

c_u = coesione non drenata;

γ_{sat} = peso unità di volume del terreno in condizioni di saturazione.

N.B: Nel calcolo in condizioni non drenate (situazione molto rara per un terreno incoerente) si assume, sempre e comunque, che l'angolo di attrito ϕ sia nullo ($\phi = 0$).

Verifiche nei confronti degli stati limite ultimi (SLU)

Di seguito si riporta una tabella riepilogativa relativa alla verifica dello stato limite di collasso per carico limite dell'insieme fondazione-terreno.

Si precisa che il valore relativo alla colonna $Q_{d,Rd}$, di cui nella tabella seguente, è da intendersi come il valore di progetto della resistenza R_d , ossia il rapporto fra il carico limite q_{lim} (calcolato come sopra esposto) ed il valore del coefficiente parziale di sicurezza γ_R relativo alla capacità portante del complesso terreno-fondazione, in relazione all'approccio utilizzato. Nel caso in esame il coefficiente parziale di sicurezza γ_R è stato assunto pari a 2,3 (tabella 6.4.I del D.M. 2018).

Si precisa che, nella sottostante tabella:

- la coppia Q_{Ed} e $Q_{d,Rd}$ è relativa alla combinazione di carico, fra tutte quelle esaminate, che da luogo al minimo coefficiente di sicurezza (CS);
- nelle colonne "per N_q , per N_c e per N_γ ", relative ai "Coef. Cor. Terzaghi", viene riportato il prodotto tra i vari coefficienti correttivi presenti nell'espressione generale del carico limite. Ad esempio si è posto:

$$\text{Coef. Cor. Terzaghi per } N_q = s_q \cdot d_q \cdot i_q \cdot g_q \cdot b_q \cdot \psi_q \cdot Z_q$$

$$\text{Coef. Cor. Terzaghi per } N_c = s_c \cdot d_c \cdot i_c \cdot g_c \cdot b_c \cdot \psi_c \cdot Z_c$$

$$\text{Coef. Cor. Terzaghi per } N_\gamma = s_\gamma \cdot d_\gamma \cdot i_\gamma \cdot g_\gamma \cdot b_\gamma \cdot \psi_\gamma \cdot r_\gamma \cdot Z_\gamma \cdot C_\gamma$$

VERIFICHE CARICO LIMITE FONDAZIONI DIRETTE (inviluppo SLU e SLV)

Verifiche Carico Limite fondazioni dirette allo SLU (inviluppo SLU e SLV)

Id _{Fnd}	CS	L _x	L _y	Rtz	Z _{P,cmp}	Z _{Fld}	Cmp T	C. Terzaghi					Q _{Ed}	Q _{Rd}	R _f	
								C. Terzaghi								
		[m]	[m]	[°]	[m]	[m]		per N_q	per N_c	per N_γ	N_q	N_c	N_γ			
Plinto 2	2,85	0,80	0,80	0,00	1,00	-	NON Coesivo	1,82	1,68	0,60	1,00	5,14	0,00	0,039	0,112	N
Plinto 3	2,56	0,80	0,80	0,00	1,00	-	NON Coesivo	1,83	1,69	0,60	1,00	5,14	0,00	0,044	0,112	O
Plinto 4	2,68	0,80	0,80	0,00	1,00	-	NON Coesivo	1,82	1,68	0,60	1,00	5,14	0,00	0,042	0,112	O
Plinto 5	2,87	0,80	0,80	0,00	1,00	-	NON Coesivo	1,83	1,69	0,60	1,00	5,14	0,00	0,039	0,112	O
Plinto 1	4,15	0,80	0,80	0,00	1,00	-	NON Coesivo	1,82	1,67	0,60	1,00	5,14	0,00	0,027	0,112	O
Plinto 6	2,69	0,80	0,80	0,00	1,00	-	NON Coesivo	1,82	1,68	0,60	1,00	5,14	0,00	0,042	0,112	O
Plinto 7	2,58	0,80	0,80	0,00	1,00	-	NON Coesivo	1,83	1,69	0,60	1,00	5,14	0,00	0,044	0,112	O
Plinto 8	2,88	0,80	0,80	0,00	1,00	-	NON Coesivo	1,82	1,68	0,60	1,00	5,14	0,00	0,039	0,112	O

Verifiche Carico Limite fondazioni dirette allo SLU (inviluppo SLU e SLV)																
Id _{Fnd}	CS	L _X	L _Y	Rtz	Z _{P,cmp}	Z _{Fld}	Cmp T	C. Terzaghi								
								per N _q	per N _c	per N _y	N _q	N _c	N _y	[N/mm ²]	[N/mm ²]	
Plinto 9	4,17	0,80	0,80	0,00	1,00	-	NON Coesivo	1,82	1,68	0,60	1,00	5,14	0,00	0,027	0,112	N
Plinto 12	3,85	0,80	0,80	0,00	1,00	-	NON Coesivo	1,82	1,67	0,60	1,00	5,14	0,00	0,029	0,112	O
Plinto 11	2,81	0,80	0,80	0,00	1,00	-	NON Coesivo	1,83	1,69	0,60	1,00	5,14	0,00	0,040	0,112	O
Plinto 10	3,85	0,80	0,80	0,00	1,00	-	NON Coesivo	1,82	1,67	0,60	1,00	5,14	0,00	0,029	0,112	O

LEGENDA:

Id_{Fnd}	Descrizione dell'oggetto di fondazione al quale è riferita la verifica.
CS	Coefficiente di sicurezza ([NS] = Non Significativo se CS ≥ 100; [VNR]= Verifica Non Richiesta; Informazioni aggiuntive sulla condizione: [V] = statica; [E] = eccezionale; [S] = sismica; [N] = sismica non lineare).
L_{X/Y}	Dimensioni dell'elemento di fondazione.
Rtz	Angolo compreso tra l'asse X e il lato più lungo del minimo rettangolo che delimita il poligono della platea.
Z_{P,cmp}	Profondità di posa dell'elemento di fondazione dal piano campagna.
Z_{Fld}	Profondità della falda dal piano campagna.
Cmp T	Classificazione del comportamento del terreno ai fini del calcolo.
C.	Coefficienti correttivi per la formula di Terzaghi.
Terzaghi	
Q_{Ed}	Carico di progetto sul terreno.
Q_{Rd}	Resistenza di progetto del terreno.
R_f	[SI] = elemento con presenza di rinforzo; [NO] = elemento senza rinforzo.